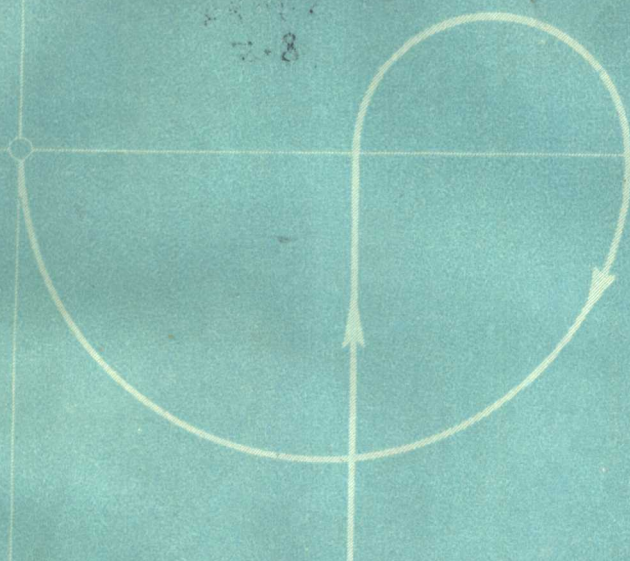


自动 化 丛 书



无触点磁继电器

〔苏联〕 H. M. 季申科著 李鼎年译

上海科学技术出版社

无触点磁继电器

〔苏联〕 H. M. 季申科著

李鼎年译 赵安泰校



上海科学 技术出版社

内 容 提 要

本书是“自动化丛书”之一。丛书内容包括自动学及远动学的理论，自动装置、元件和仪器的结构及应用等。丛书选题主要取自苏联及其他国家的有关资料，也包括国内编写的专题论著。本丛书由“自动化丛书编辑委员会”主编。

本书阐述在继电状态下工作的磁放大器的理论和设计问题；介绍无触点磁继电器的一些基本线路，包括自动装置中所用的无触点时间继电器线路。并介绍无触点磁继电器工程计算法和计算实例。

本书可供自动化工程技术人员及大专学生参考。

БЕСКОНТАКТНЫЕ МАГНИТНЫЕ РЕЛЕ

Н. М. Тищенко

Госэнергоиздат · 1961

自动化丛书(17)

无触点磁继电器

李鼎年译 赵安泰校

自动化丛书编辑委员会主编

上海科学技术出版社出版 (上海瑞金二路450号)

上海市书刊出版业营业许可证出093号

商务印书馆上海厂印刷 新华书店上海发行所发行

开本 787×1092 1/32 印张 4 8/32 排版字数 92,000
1963年7月第1版 1963年7月第1次印刷 印数 1—4,300

统一书号 15119·1740 定价(十二) 0.50 元

前　　言

继电器是輸入参数連續变化时引起輸出参数跃变的一种装置，已經广泛地在自动、远动和通訊技术中应用。

除一般有触点继电器（如电磁继电器）外，无触点磁继电器最近也应用很广。

无触点磁继电器由于沒有触点及可动部分，所以它的主要优点为：可靠性与灵敏度高，吸合与释放参数不受冲击、振动及加速度的影响，并与所处空间的位置无关，也沒有引起火灾爆炸的危險。

无触点磁继电器就是一个有深度正反饋的磁放大器。当正反饋系数大于1时，磁放大器特性曲线中出現一个回綫，就是說，发生继电工作状态。

无触点磁继电器与电磁继电器相比，有吸合功率小、使用期限长、无需檢視、吸合电流稳定性高以及慣性（吸合和释放时间）小等特点。例如，在同样的灵敏度下，无触点磁继电器的吸合时间要比电磁继电器小10~20倍。

表1是无触点磁继电器、电磁式极化与非极化继电器的
表　1

数	无触点磁 继电器	电　　磁　　继　　电　　器	
		非极化的	极　　化　　的
吸合功率，瓦	$10^{-9} \sim 10^{-10}$	$10^{-1} \sim 10^{-2}$	10^{-4}
經 $10^5 \sim 10^6$ 次吸合后，吸合电流 的变化，%	1~2	10~25	50~150
保證使用期限（吸合次数）	实际不限	$10^4 \sim 10^6$	10^6 以下

一些参数，可供比较。

无触点磁继电器的缺点是：一般型式无触点磁继电器仅有一个“触点”，即只有一个输出；在相当于“触点”打开的“断开”位置时，负载回路内有电流通过；与有触点继电器比较，它的效率较低（一般对扼流式无触点磁继电器为60~70%，而变压器式则为8~10%）；当电源频率较低时，外形尺寸也较大。因此往往将无触点磁继电器与有触点继电器配合应用，可使两者相互取长补短，最为适宜。

目 录

前 言

第1章 用作继电器的磁放大器	1
1. 作用原理	1
2. 无触点磁继电器的静特性曲线	6
3. 理想的磁放大器	9
4. 理想无触点磁继电器的静特性常数	11
5. 有偏移的无触点磁继电器	12
6. 双拍式无触点磁继电器	14
7. 变压器式无触点磁继电器	16
8. 带并联负载的无触点磁继电器	18
9. 拖流-变压器式无触点磁继电器	19
10. “多触点”的无触点磁继电器	21
第2章 实际的无触点磁继电器	23
11. 基本关系	23
12. 磁性材料的特性	28
13. 半导体二极管的特性	35
14. 直流输出的磁放大器	41
15. 负载电阻电抗分量的计算	43
16. 有反馈的磁放大器	45
17. 实际无触点磁继电器的静特性常数	46
18. 导出关系式的分析	47
19. 无触点磁继电器的时延	49
第3章 无触点磁继电器的设计	54
20. 导磁体型式和尺寸的选择	54
21. 绕组匝数的计算	64
22. 导线直径的计算	66

23. 減小無觸點磁繼電器重量和尺寸的方法	67
24. 提高繼電器穩定度的方法	69
25. 饱和扼流圈的結構計算	72
26. 無觸點磁繼電器時延的計算	76
27. 無觸點磁繼電器的計算方法	78
28. 無觸點磁繼電器的結構	82
29. 計算實例	86
第4章 無觸點磁性時間繼電器	101
30. 無觸點磁性時間繼電器的幾種主要變型	101
31. 時間發生繼電器	107
32. 磁性熱敏電阻式脈衝發生器	111
33. 有短路繞組的無觸點磁性時間繼電器	113
34. 提高吸合時間穩定度的方法	118
35. 有短路繞組的時間繼電器的計算	119
36. 時間繼電器的計算實例	123
參考文獻	125

第 1 章

用作继电器的磁放大器

1. 作用原理

一般在继电状态下工作的正反馈磁放大器称为无触点磁继电器。

图 1a 是最简单的磁放大器，是一个与负载电阻串联于交流电源的可变电感(饱和扼流圈)。其电感随输入(控制)讯号的大小而变，因此负载电流也跟着变化。从图 1a 可以看出，负载电流 I_n 为

$$I_n = \frac{U_e}{\sqrt{(\omega L_{ap})^2 + R_n^2}}$$

式中 L_{ap} ——扼流圈的电感；

R_n ——负载电阻；

U_e ——电源电压。

由于扼流圈的电感是输入讯号的函数，即 $L_{ap}=f(I_{ex})$ ，所以负载电流也决定于 I_{ex} 值。

为了使扼流圈的感抗 $X_{ap}=\omega L_{ap}$ 改变时，负载电流跟着起必要的变化，这个感抗就必须比负载电阻大得多。事实上，只有在这个条件下，负载电流才基本上决定于扼流圈的感抗。

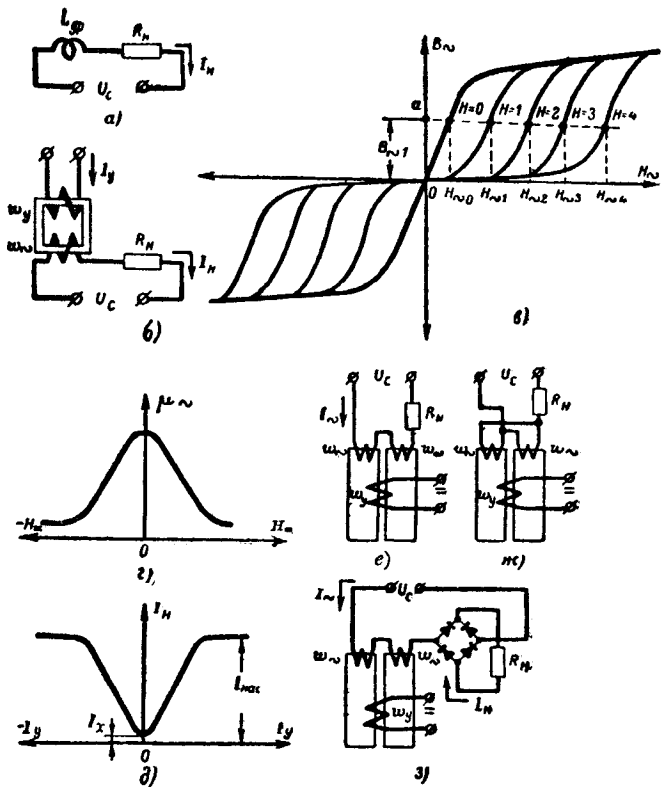


图1 最简单磁放大器的线路和特性曲线

a—负载回路原理图； b—单铁心的最简单磁放大器； c—交直流磁场同时磁化曲线族； d—导磁率与控制(迭加磁化)磁场间的关系曲线； e— w_∞ 串联的最简单磁性装置实际应用的线路； f—同 e，但 w_∞ 并联； g—直流输出的磁放大器

为了得到大的电感，磁放大器的扼流圈用铁磁铁心做成，并采用导磁率尽可能高的材料。这是由于当其他条件相同时，扼流圈的电感与导磁率 μ 成比例，并用下列关系式来确定

$$L_{\text{ap}} = \frac{0.4\pi w^2 Q}{l} \mu$$

式中， w 、 Q 和 l 分别为扼流圈的匝数、铁心的截面积和磁力线的平均长度。

磁放大器接输入讯号的绕组，通常称为控制绕组 w_y 或输入绕组（图 16）。接到负载回路的绕组，通常称为交流绕组，也称为工作或输出绕组。

因此，图 16 所示最简单的磁放大器就是一个变压器，它的初级绕组上接控制讯号 I_y ，而次级绕组接到负载回路。实质上这时次级绕组的电感由控制讯号的大小来决定。

为了要弄清楚输入讯号怎样来改变交流绕组的电感，我们来研究一下图 16 所示的特性曲线族。

这个曲线族表示磁放大器扼流圈铁心中磁感应强度交流分量与磁场强度间的关系，这个磁场是由绕组 w_y 中的交流电流，以及绕组 w_y 中的直流电流共同建立的，故称为交直流磁场同时磁化曲线族。

图 16 上曲线族的粗线相当于没有控制讯号 ($I_y=0$) 时的特性曲线。由于 $H_z = \frac{0.4\pi I_y w_y}{l}$ ，所以这时 H_z 也等于零。

再研究一下，随着控制讯号（也就是 H_z ）的增大，磁感应强度交流分量的导磁率将起怎样的变化。

选择 a 点相当于铁心起始磁感应强度 B_{z1} ，通过 a 点作一直线平行于 H_z 轴。计算出这条直线与曲线族各特性曲线交点处铁心磁通交流分量的导磁率 μ_z 。按照定义

$$\mu_z = \frac{B_z}{H_z}$$

从图 16 可以看出，随着控制讯号 (H_z) 的增大， H_z 值

也跟着增大，如 B_∞ 仍保持不变，即相当于 μ_∞ 在减小。

根据上述結果，可画出如图 1*i* 所示的 μ_∞ 与 H_∞ 之间的关系曲綫。應該注意，这条曲綫 $\mu_\infty = f(H_\infty)$ 是对称的，就是說，导磁率的减小与控制磁场的极性（控制訊号的符号）无关。因此，上述磁放大器的 I_u 与 I_y 之间的关系曲綫（靜特性曲綫）也将是对称的，并具有图 1*d* 所示的形状。

图 1*b* 所示单鐵心的最简单磁放大器实际上 是不用的，因为繞組 w_∞ 的交流电流反映到繞組 w_y 中将产生感应电动势，这一电动势迭加在控制訊号上，并使它发生畸变。为了消除这一影响，最简单的磁放大器是用两个扼流圈組成，交流繞組的接法必須使一个繞組产生的磁通交流分量 Φ_∞ 和另一个繞組的 Φ_∞ 方向相反，这样就不会在繞組 w_y 中产生感应电动势。

交流繞組可接成串联（图 1*e*），也可接成并联（图 1*m*）。这两种线路的特点是負載电阻中通过的都是电源頻率的交流电流。这类磁放大器称为交流輸出的磁放大器。

在負載电流必須是直流的情况下，磁放大器线路中要加进整流电桥（图 1*s*）。这类磁放大器称为直流輸出的磁放大器。

但实际应用最广的則是一些有反饋的磁放大器。在这些磁放大器中，迭加磁化磁场的大部分是由反饋磁场組成，而只有較小部分是由控制訊号产生的磁场組成。

反饋磁场可利用在一个专用反饋繞組 $w_{o.c}$ 中通入負載电流来产生，这种反饋称为外反饋。如果反饋磁场的方向与控制磁场的方向相同，就称为正反饋，反之則为負反饋。很明显，正反饋使放大系数增加，而負反饋則使之减小。因此，有反饋的磁放大器的靜特性曲綫就变为不对称了。譬如图 2*b*

的 ab 段相当于正反馈，而 ca 段相当于负反馈。目前广泛应用的则是所谓内反馈（图 2 e）。反馈磁场是在交流绕组中产生的。因为在这些绕组的电路内接有二极管 A_1 和 A_2 ，所以绕组 w_{\sim} 中通过的是脉动电流，反馈磁场就是由它的直流分量产生的。

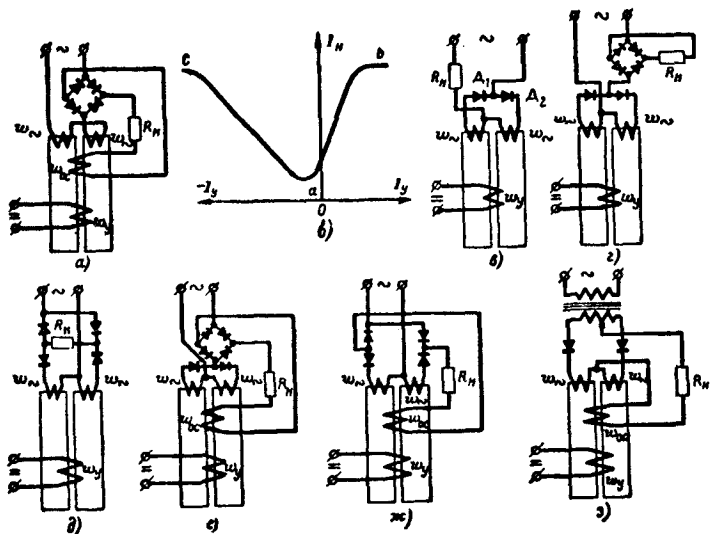


图 2 有反馈的磁放大器

a—交流繞組串联的外反饋磁放大器(无触点磁继电器); b—有反饋的磁放大器的靜特性曲綫; c—交流輸出的內反饋磁放大器; d—同 e, 但为直流输出; e—同 f, 但二极管的数量减少; f—同 e, 但二极管数量减少(內反饋和外反饋)的无触点磁继电器; g—同 f, 但二极管数量减少; h—同 g, 但采用了变压器

图 2 e 线路的缺点是通过负载电阻的仍为交流电流。要把它整平为直流可用整流电桥(图 2 i)，或用图 2 d 的线路以减少二极管的数量。

反馈系数是表征反馈强度的重要标志。就外反馈线路而言，反馈系数由输出值（在图 2a 线路中指负载电流）中加于磁放大器输入端（在图 2a 线路中指反馈绕组）的那一部分来决定。

磁放大器的反馈系数在一般情况下等于反馈磁场强度与交流绕组产生的磁场强度之比，即

$$K_{o.c} = \frac{H_{o.c}}{H_{\sim}} = \frac{I_{o.c}w_{o.c}}{I_{\sim}w_{\sim}} \quad (1)$$

在外反馈线路中， $w_{o.c}$ 可以任意选择，故可保证获得任意的 $K_{o.c}$ 值，而在内反馈线路中 $K_{o.c} \leq 1$ 。为了获得较大的 $K_{o.c}$ 值，在内反馈线路中可另加反馈绕组（图 2e）。在这种情况下由于磁放大器中既有内反馈作用，又有外反馈作用，故常被称为混合反馈线路。应该注意，混合反馈线路照例总是最为合理，因为它可以大大减少反馈绕组匝数，从而使绕线必需的铁心窗口也相应减小，因此往往减小了无触点磁继电器的尺寸和重量，同时又简化了制造过程和降低了成本。

下面将证明，当 $K_{o.c} > 1$ 时，磁放大器的静特性曲线中就出现一个回线，就是说磁放大器过渡到继电器的工作状态。

图 2a、e、x 及 3 是单拍扼流式无触点磁继电器的几种线路。

2. 无触点磁继电器的静特性曲线

利用无反馈磁放大器的特性曲线，可用图解法作出有反馈磁放大器（包括无触点磁继电器）的静特性曲线。

图 3 系对扼流式磁放大器的理想直线化特性曲线作出的无触点磁继电器的理想静特性曲线。图中 $c''b''a'b'c'$ 为无反馈磁放大器的特性曲线，而直线 OK 则为反馈特性曲线。

如果反饋特性曲綫 OK 的陡度小於特性曲綫 $a'b'$ (如图 3 所示), 則將直線 OK 向左平移到某一位置時, 將與特性曲綫 $a'b'c'$ 交于兩點。圖 3a 用虛線表示發生兩個交點時直線 OK 的兩個極限位置。這時極限點 d' 是穩定的, 而 a' 和其餘中間各點都不穩定。因此, 如假定磁放大器工作在 a' 點 (圖 3b), 則因某些不可避免的波動, 磁放大器輸出端的電流也將改變——增大到 I_{H1} 。由於反饋作用, 這個電流將產

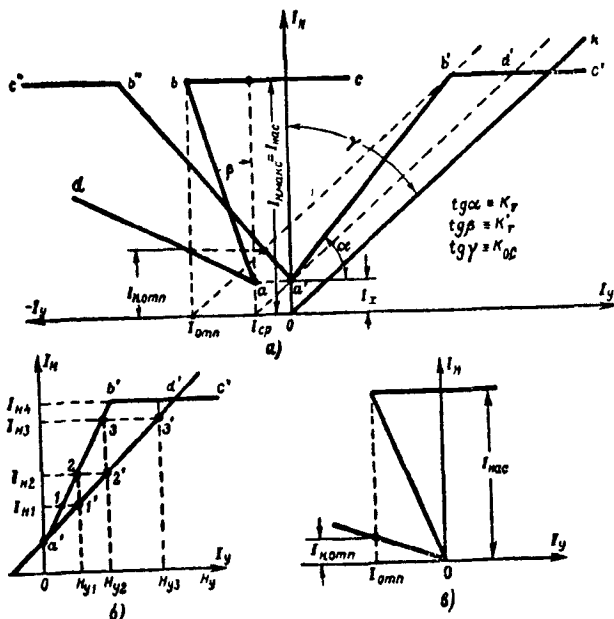


图 3 无触点磁继电器的理想特性曲线①

a—单拍扼流式无触点磁继电器静特性曲线的图解作法; 6—无触点磁继电器从不稳定状态 a' 到稳定状态 d' 的过渡过程的说明; c—理想无触点磁继电器的静特性曲线

① 原图 ad 线角度有误, 已更正。——譯注

生控制磁场 H_{y1} , 与此对应的输出电流 $I_{n2} > I_{n1}$, 这样将使反饋磁场更强, 从而又使磁放大器的输出电流增加。这个过程将一直继续到 I_n 值达到相当于 d' 点的数值为止。

用直线 $dabc$ 表示理想直线化的继电特性曲线。在特性曲线的 a 点电流跃升至 $I_{H,\text{max}}$ 值, 等于饱和电流 I_{sat} 。在 b 点电流跳跃地下降到 $I_{H,\text{off}}$ 值。相当于 a 点的控制绕组内的电流值(控制电流)称为无触点磁继电器的吸合电流 I_{op} , 而相当于 b 点的则称为释放电流 I_{off} 。

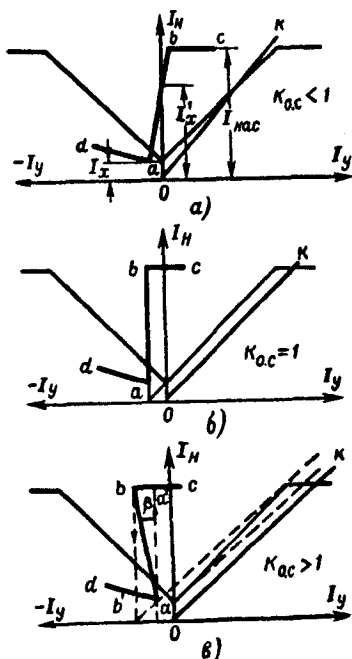


图 4 在不同反饋系数下的磁放大器特性曲线

当反饋系数 $K_{o.c} < 1$ 时, 磁放大器的特性曲线是单值的(图 4 a), 而当 $K_{o.c} > 1$ 时, 特性曲线中将出现回线 $aa'bb'$ (图 4 c), 也就是说, 不等式 $K_{o.c} > 1$ 相当于磁放大器的继电器工作状态。

$K_{o.c} = 1$ 时称为临界反饋(图 4 b)。由于在这种情况下磁放大器的特性曲线是不稳定的, 所以实际上一般都不采用。

由图 4 c 可以看出, 用作继电器的磁放大器的特点是特性曲线 ab 段的放大系数(即特性曲线的斜率)为负值。因此, 这一段的电流放

大系数 $K'_r = \frac{\Delta I_u}{\Delta I_y} = \operatorname{ctg} \beta < 0$ ^①, 这样就形成了回线。

反馈系数愈大，也就是决定反馈直线斜率的 γ 角愈大，则回线的宽度愈宽，因此磁放大器放大系数的绝对值就愈小 ($\operatorname{tg}(\beta + 90^\circ)$ 值随 β 角的增大而减小)。

继电特性曲线的宽度 $\Delta = I_{otn} - I_{cp}$ 决定无触点磁继电器的返回系数

$$K_{B3} = \frac{I_{otn}}{I_{cp}}$$

因此

$$\Delta = I_{cp}(K_{B3} - 1)$$

3. 理想的磁放大器

理想磁放大器是指用具有理想磁化曲线(图 5a)的铁心和有理想伏-安特性曲线(图 5b)的整流器所做成的磁放大器。

对无反馈的理想磁放大器而言，下式是正确的

$$I_n w_\sim = I_c w_\sim = I_y w_y \quad (2)$$

式中 I_n 、 I_c ——分别为经过整流的负载电流和交流负载电流的平均值；

I_y ——控制电流；

w_\sim 、 w_y ——分别为交流绕组和控制绕组的匝数。

由式(2)可见，理想磁放大器的电流放大系数为

$$K_r = \frac{I_n}{I_y} = \frac{w_y}{w_\sim} \quad (3)$$

由于 K_r 只决定于匝数，而匝数在运行条件下并无变化，

① 原文为 $K_r = \frac{\Delta I_u}{\Delta I_y} = \operatorname{tg} \beta < 0$. ——译注

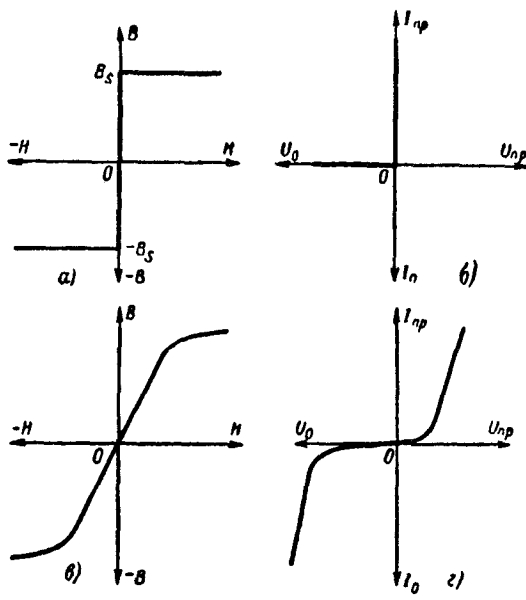


图 5 饱和扼流圈的理想磁化曲线 (a) 和实际磁化曲线 (c), 整流器的理想伏-安特性曲线 (b) 和实际伏-安特性曲线 (d)

所以理想磁放大器的特征是放大系数绝对稳定。

理想磁放大器的反馈系数同样也决定于匝数比

$$K_{o.c} = \frac{H_{o.c}}{H_{\sim}} = \frac{w_{o.c}}{w_{\sim}} \quad (4)$$

式中, $w_{o.c}$ 为反馈绕组的匝数。

有反馈磁放大器的电流放大系数为

$$K'_T = \frac{K_T}{1 \mp K_{o.c}} = \frac{w_y}{w_{\sim} \mp w_{o.c}} \quad (5)$$

式中的负号相当于正反馈, 正号相当于负反馈。